

01; 05.4

© 1993

МОДЕЛИРОВАНИЕ УПОРЯДОЧЕННОЙ СТРУКТУРЫ  
И ЕЕ ВЛИЯНИЕ НА ТЕМПЕРАТУРУ  
СВЕРХПРОВОДЯЩЕГО ПЕРЕХОДА В  $YBa_2Cu_3O_{7-x}$

Б.Л. Оксенгендлер, З.И. Каримов,  
Ю.В. Пахаруков, В.Ю. Сотников,  
А. Юсупов

Уже довольно быстро после открытия ВТСП материалов было установлено, что атомное состояние плоскости CuO существенно оказывается на температуре сверхпроводящего перехода в кристалле  $YBa_2Cu_3O_{7-x}$  [1]. Среди таких экспериментов, с нашей точки зрения, исключительно важное значение имеют результаты [2] (получение зависимости  $T_c(x)$ , причем  $(dT_c/dx) < 0$ ) и [3] (получение зависимости  $T_c(\gamma)$  при  $x = const$ , где  $\gamma$  – параметр дальнего порядка, причем  $(dT_c/d\gamma) > 0$ ).

Получим эти зависимости теоретически в рамках единообразий.

Согласно результатам [4], будем полагать, что  $T_c$  описывается формулой квази-БКШ [4]:

$$T_c = 1.14 \langle \omega \rangle \exp[-1/N(E_F)V], \quad (1)$$

где  $N(E_F)$  – плотность числа состояний на поверхности Ферми (вычисляется квантово-химически),  $\langle \omega \rangle$  и  $V$  – пара полуэмпирических параметров, получающихся из сопряжения теории с экспериментом.

Введем параметр дальнего порядка  $\gamma$ . Для нестехиометрического кристалла  $YBa_2Cu_3O_{7-x}$  тогда имеем

$$r_4 = \frac{1-x}{2}(1+\gamma), \quad r_5 = \frac{1-x}{2}(1-\gamma), \quad (2)$$

где  $r_4$  и  $r_5$  – вероятности заполнения позиций O4 и O5 в плоскости CuO.

Тогда для плотности числа состояний на поверхности Ферми, связанных с атомами кислорода, имеем

$$N(E_F, x, \gamma) = N_0(E_F) + \Delta N_4 \frac{1-x}{2}(1+\gamma) + \Delta N_5 \frac{1-x}{2}(1-\gamma). \quad (3)$$

Здесь  $N_0(E_F)$  – плотность числа состояний, связанных со всеми атомами O, кроме находящихся в плоскости CuO,  $\Delta N_4$  и  $\Delta N_5$  –

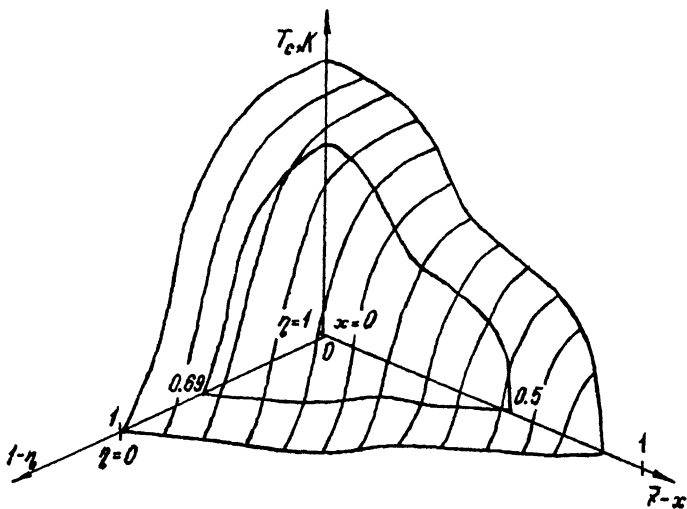


Рис. 1. График зависимости  $T_c$  от стехиометрии и степени упорядочения кристалла  $YBa_2Cu_3O_{7-x}$ .

плотности числа состояний, обусловленные заполнением одной позиции O4 и O5 соответственно. Отсюда

$$T_c = 1.14 \langle \omega \rangle \exp \left[ -1/(A + B\gamma) \right], \quad (4)$$

где

$$A = \left[ N_0 + (\Delta N_4 + \Delta N_5) \frac{1-x}{2} \right] V, \quad (4a)$$

$$B = \left[ (\Delta N_4 - \Delta N_5) \frac{1-x}{2} \right] V. \quad (4b)$$

Из (4) непременно следует, что

$$(\partial T_c / \partial x) \Big|_{\gamma=const} < 0, \quad (\partial T_c / \partial \gamma) \Big|_{x=const} > 0$$

в полном согласии с экспериментами [2, 3].

Далее, согласно [4], имеем  $N_0(E_F) = 5.44 \frac{\text{сост.}}{\text{эВ яч.}}$ ;  $\Delta N_4 = 1.57 \frac{\text{сост.}}{\text{эВ яч.}}$ ;  $\Delta N_5 = 0.41 \frac{\text{сост.}}{\text{эВ яч.}}$ ;  $\langle \omega \rangle = 314$  К,  $V = 0.12$ .

Таким образом,

$$T_c = 1.14 \cdot 314 \exp \left[ -1/[5.44 + 0.99(1-x) + 0.58(1-x)\gamma] \right]. \quad (5)$$

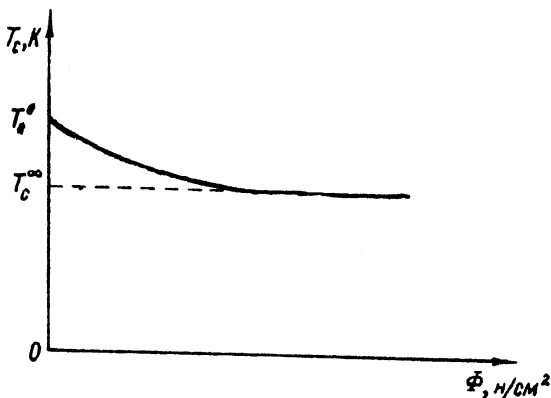


Рис. 2. Изменение  $T_c$  в зависимости от дозы при электронном облучении, смещающем атомы кислорода.

Результаты расчётов по этой формуле представлены на рис. 1.

Отметим, что сечение этой поверхности плоскостью, перпендикулярной оси 1-2, дает кривую Батлогга-Кавы и др. (ср. с [2]), а сечение плоскостью, перпендикулярной оси X (при  $x=0.45$ ), дает результаты [3].

Любопытно, что на кривой Батлогга-Кавы есть „полочка“ (между  $x_1$  и  $x_2$ ). В нашей модели ее легко получить, если полагать  $N(E_F)=const$ , т.е. в том случае, если уменьшение  $T$ -х (уход кислорода из образца) приводит к упорядочению кислорода. А в принципе подобное поведение системы знакомо: оно соответствует переходу Вигнера (упорядочение с уменьшением плотности) [5].

Применим теперь предлагаемую модель к анализу влияния на ВТСП внешних воздействий.

**Радиационное воздействие.** Будем воздействовать на  $YBa_2Cu_3O_{7-x}$  таким излучением, которое смещает атомы кислорода из позиций O4 и O5 (например, электронами средних энергий); кроме того, будем считать, что междоузельные позиции O нестабильны, так что, по существу, облучение перетуссивает атомы O между позициями O4 и O5.

Уравнение кинетики имеет вид

$$\frac{dn_4}{dt} = -\lambda_{45} n_4 + n_5 / \tau_{54}, \quad \frac{dn_5}{dt} = -\lambda_{54} n_5 + n_4 / \tau_{45}, \quad (6)$$

где первые члены соответствуют смещению атомов из своих позиций под действием радиации; вторые члены – тепловым релаксациям атомов O.

При начальных условиях  $t=0, n_4 = n_4^0, n_5 = n_5^0$  имеем

$$n_4 + n_5 = n_4^0 + n_5^0 = (1-x); \quad n_4 - n_5 = (1-x)\gamma, \quad (7)$$

$$n_4 = n_4^o + \frac{n_0}{1 + \lambda_{45} T_{54}} \left[ 1 - e^{-t(\lambda_{45} + 1/T_{54})} \right],$$

$$n_5 = n_5^o + \frac{n_0}{1 + \lambda_{54} T_{45}} \left[ 1 - e^{-t(\lambda_{54} + 1/T_{45})} \right].$$

Подставляя величину  $\mathcal{J}$  из (7) в (5), находим дозовую зависимость  $T_c(\Phi)$ , где  $\Phi = \mathcal{J}t$ ,  $\mathcal{J}$  – интенсивность облучения (рис. 2), что отражает экспериментальные закономерности [6].

Отметим, что такая трактовка справедлива только в отношении монокристаллов. А в случае, когда радиационному воздействию подвергаются ВТСП керамики, на первый план выходят совершенно иные эффекты. Зондаж свойств этих объектов можно осуществить, в частности, по степени повреждаемости джозефсоновских контактов, роль которых в случае керамик подчас не последняя.

#### С п и с о к л и т е р а т у р ы

- [1] Novel Mechanisms of Superconductivity / Ed by S. Wolf, V. Kresin. N.-Y: Plenum Press, 1987.
- [2] Cava R., Battlogg B., Chen C. et al. // Phys. Rev. 1987. B36. P. 5719.
- [3] Эм В.Г., Латерграус И.С., Ташметов М.Ю. и др. // Препринт ИЯФ АН РУз. Р-9-535. Ташкент, 1991. 12 с.
- [4] Hermann F., Kasowski R., Hsu W. // Phys. Rev. 1987. B36. P. 6904.
- [5] Пайнс Д. Элементарные возбуждения в твердых телах. М.: Мир, 1965.
- [6] Круликовская М.П. и др. Радиационные эффекты в ВТСП-оксидах. Препринт № 21 Института физики АН УССР. Киев. 1990.

Поступило в Редакцию  
24 декабря 1992 г.